

ТЕОРЕТИЧЕСКАЯ И МАТЕМАТИЧЕСКАЯ ФИЗИКА

УДК 519.612.4:539.17

НОВЫЕ ЧИСЛЕННЫЕ АЛГОРИТМЫ РЕШЕНИЯ ЗАДАЧ ОБРАБОТКИ
ФОТОЯДЕРНЫХ ДАННЫХ

В. Н. Бобышев, Д. В. Юдин

(кафедра математики)

1. **Введение.** В настоящее время в ряде областей экспериментальной физики при обработке результатов измерений широкое распространение получил метод редукции [1]. Основная идея метода заключается в использовании вычислительной техники для синтеза измерительно-вычислительного комплекса (ИВК) «ЭВМ+прибор», результаты на выходе которого можно интерпретировать как полученные на приборе более высокого качества, чем исходный, например на идеальном неискажающем приборе. В процессе синтеза удается оценить возможности конкретного прибора как части ИВК. Оказывается, что «хорошему» с точки зрения непосредственного измерения прибору может соответствовать «плохой» ИВК и наоборот.

Именно такая ситуация имеет место при обработке различных фотоядерных (ФЯ) экспериментальных данных. В работе [2] подробно изучена математическая модель ФЯ эксперимента, приведен ряд результатов восстановления сечений ФЯ реакций.

В процессе решения задачи редукции возникает необходимость решения линейных систем с заполненными плохо обусловленными матрицами большой размерности. При обращении таких матриц возникают специфические трудности: во-первых, из-за ограниченности оперативной памяти ЭВМ часто нельзя работать с матрицами больших размерностей, хотя решение реальных задач требует именно этого; во-вторых, из-за большого счетного времени отсутствует возможность применения диалогового режима работы, что особенно важно на этапе анализа и интерпретации результатов обработки; в-третьих, вследствие плохой обусловленности матрицы исходной системы велики ошибки обращения и, как следствие, результата обработки.

В связи с этим в работе рассматриваются алгоритмы, позволяющие решать задачи редукции нужных размерностей, причем гораздо быстрее и точнее, чем это можно сделать традиционными методами. В заключение приведены результаты восстановления сечения ФЯ реакции $^{12}\text{C}(\gamma, n)$, полученные с помощью предлагаемых алгоритмов.

2. **Задача редукции.** Рассмотрим линейную схему измерений

$$\xi = Af + v, \quad (1)$$

где ξ — результат измерения сигнала f , полученный на приборе A с шумом v . Будем говорить, что задана модель $[A, \Sigma]$ схемы измерений (1), если заданы математические модели прибора и погрешности, т. е. операторы A и Σ , где $\Sigma x = E v(x, v)$. В конечномерном случае ξ , f , v — векторы, а A и Σ — матрицы соответствующих размерностей. Для ФЯ эксперимента ξ — выход реакции, полученный с использованием γ -спектра, заданного матрицей A для различных верхних границ энергий, f — сечение реакции, т. е. желаемая информация о структуре изу-

чаемого ядра. Рассмотрим теперь линейное преобразование равенства (1):

$$R\xi = Uf + (RA - U)f + Rv,$$

где R — решение задачи

$$E\|R\xi - Uf\|^2 = \inf\{E\|R'\xi - Uf\|^2 \mid ER'\xi = Uf\} \quad (2)$$

для любого f . Тогда $\widehat{Uf} = R\xi$ есть редукция сигнала ξ к виду, какой он имел бы на выходе заданного прибора U . Однако R является неустойчивым к малым изменениям параметров модели $[A, \Sigma]$, а шум Rv , как правило, велик. Поэтому на практике для модели $[A, \Sigma]$ обычно решается задача

$$\|RA - U\|_2 = \inf\{\|R'A - U\|_2 \mid E\|R'v\|^2 \leq \varepsilon\}, \quad (3)$$

где $\|B\|_2^2 = \text{Tr} BB^*$. Более подробную постановку и решение задач редукции для различных моделей можно найти в [1].

3. Алгоритмы решения задачи редукции. В [3] показано, что если $U \in D(A) = \{U : U(I - A^{-1}A) = 0\}$, где A^{-1} — псевдообратный оператор, то решение задачи (2) имеет вид

$$R = UA^{-1}(I - \Sigma^{1/2}(T^{1/2})^{-1}), \quad T = I - AA^{-1},$$

оценка $\widehat{Uf} = R\xi = UA^{-1}(I - \Sigma^{1/2}(T\Sigma^{1/2})^{-1})\xi$. При $\Sigma = \Sigma^* \geq 0$ и $AA^* + \Sigma > 0$

$$\lim_{\omega \rightarrow 0} A^*(AA^* + \omega\Sigma)^{-1} = A^{-1}(I - \Sigma^{1/2}(T\Sigma^{1/2})^{-1}).$$

Это позволяет обосновать устойчивый метод решения задачи (1). В качестве устойчивого приближения берется оценка

$$\widehat{Uf} = R_\omega \xi = UA^*(AA^* + \omega\Sigma)^{-1}\xi. \quad (4)$$

Для определения качества оценки вычисляется уровень шума

$$h(\omega) = E\|R_\omega v\|^2 = \text{Tr} R_\omega \Sigma R_\omega^* \quad (5)$$

и невязка $g(\omega) = \|R_\omega A - U\|_2^2. \quad (6)$

Шум и невязка определяют оперативную характеристику $g(h)$, которая может служить «паспортом» ИВК. Чем ниже лежит график $g(h)$, тем лучше ИВК.

Решение задачи (3) имеет вид [1]

$$\widehat{Uf} = R_\omega \xi = \begin{cases} UA^* S_\omega^{-1} \xi, & \omega = \omega_\varepsilon, \quad 0 < \varepsilon < \varepsilon_0, \\ U(S_1^{-1/2} A)^{-1} S_1^{-1/2} \xi, & \varepsilon \geq \varepsilon_0, \\ UA^* S_1^{-1/2} (I - (S_1^{-1/2} \Sigma S_1^{-1/2})^{-1} S_1^{-1/2} \Sigma S_1^{-1/2}) \xi, & \varepsilon = 0, \end{cases} \quad (7)$$

где $S_1 = AA^* + \Sigma$, $S_\omega = AA^* + \omega\Sigma$, $\varepsilon_0 = \|U\widehat{\Sigma}^{1/2}\|_2^2$, $\widehat{\Sigma} = (A^* \Sigma^{-1} A)^{-1}$, ω_ε — единственный корень уравнения

$$h(\omega) = \|UA^* S_\omega^{-1} \Sigma^{1/2}\|_2^2 = \varepsilon. \quad (8)$$

Как уже отмечалось выше, использование в (4)–(8) обратной к $AA^* + \omega\Sigma$ матрицы требует большого объема оперативной памяти, большого числа арифметических действий, что, как следствие, не дает возможности просмотреть большой диапазон значений параметра ω для построения оперативной характеристики ИВК и организации работы в диалоговом режиме. В [4] приведены алгоритмы, позволяющие

во многом избавиться от этих недостатков. Дадим описание этих алгоритмов при $U=I, \Sigma=\sigma^2 I$.

Любую матрицу $A=(m \times n)$ можно представить в виде

$$A=WSV^* \quad (9)$$

либо

$$A=PBQ^*, \quad (10)$$

где $W(m \times m), P(m \times m), V(n \times n), Q(n \times n)$ — ортогональные матрицы, $s_{ij}=0, i \neq j, s_{11} \geq \dots \geq s_{rr} > 0, r = \text{rg } A \leq \min(m, n), b_{ij}=0, i \neq j, j=1, 1 \leq i \leq m, 1 \leq j \leq n$. Числа $s_{ii}, 1 \leq i \leq r$ (в дальнейшем s_i), называются сингулярными числами, разложение (9) — сингулярным (SVD-) разложением матрицы A .

При использовании SVD-разложения формулы (4) — (6) решения задачи (2) приобретают вид

$$\hat{f}=VS^*(SS^* + \omega\sigma^2 I)^{-1}W^*\xi, \quad (11)$$

$$h(\omega) = \sum_{i=1}^r \frac{\sigma^2 s_i^2}{(s_i^2 + \omega\sigma^2)^2}, \quad (12)$$

$$g(\omega) = \sum_{i=1}^r \frac{\omega^2 \sigma^4}{(s_i^2 + \omega\sigma^2)^2} + n - r. \quad (13)$$

При использовании разложения (10) получаем

$$\hat{f}=QB^*(BB^* + \omega\sigma^2 I)^{-1}P^*\xi = Q(B^*B + \omega\sigma^2 I)^{-1}B^*P^*\xi, \quad (14)$$

$$h(\omega) = \sigma^2 \text{Tr}(B^*(BB^* + \omega\sigma^2 I)^{-2}B) = \\ = \sigma^2 \text{Tr}((B^*B + \omega\sigma^2 I)^{-1}B^*B(B^*B + \omega\sigma^2 I)^{-1}), \quad (15)$$

$$g(\omega) = \omega^2 \sigma^4 \text{Tr}(BB^* + \omega\sigma^2 I)^{-2} = \omega^2 \sigma^4 \text{Tr}(B^*B + \omega\sigma^2 I)^{-2}. \quad (16)$$

Матрицы $BB^* + \omega\sigma^2 I$ и $B^*B + \omega\sigma^2 I$ в (14) — (16) являются трехдиагональными. Для решения операторных уравнений с такими матрицами можно использовать экономичные методы прогонки и циклической редукции [5]. Разложение (10) с последующим применением метода прогонки использовано в работе [6].

Случай $\Sigma = \text{diag}(\sigma_1^2, \dots, \sigma_m^2)$ и $\Sigma = \Sigma^* > 0$ сводятся к описанному, если использовать разложение соответственно матриц $\Sigma^{-1/2}A$ и $L^{-1}A$, где $\Sigma = LL^*$. Решение задачи редукции (3) дается формулами (11), (13), (14), (16), где ω определяется из (8).

4. Результаты расчетов, выводы. Остановимся подробнее на тех трудностях, с которыми приходится сталкиваться при численном решении задач редукции. Основная проблема, как уже подчеркивалось, здесь заключается в обращении матрицы $AA^* + \omega\Sigma$. Вычислительная погрешность, пропорциональная числу обусловленности, оказывается неприемлемо большой. Добавка $\omega\Sigma$ позволяет уменьшить число обусловленности. Однако при малых ω из-за представления чисел в ЭВМ происходит исчезновение этой добавки и фактически ЭВМ работает с матрицей AA^* . Стандартные программы обращения или решения систем с такой матрицей дают бессмысленные результаты.

Именно такая ситуация складывается при обработке ФЯ экспериментов, где результат измерения $\xi(x)$ связан с сечением f уравнением вида $\xi(x) = \int_a^b K(x, s)f(s)ds + \nu(x)$. Применение программ обращения к

Время расчета (в секундах) для 20 значений ω

$m \times n$	Сингулярное разложение	Разложение (10) и прогонка	Разложение (10) и циклическая редукция	Обращение
45×45	66	109	149	1 120
60×45	83	113	153	Авгст
60×60	142	189	231	2 560
120×120	899	759	832	20 220

разностному аналогу данного уравнения дает неудовлетворительные результаты: зависимость $g(\omega)$ разрывна, интерпретация f при $\omega \rightarrow 0$ бессмысленна. Использование в таких условиях описанных выше алгоритмов, особенно основанного на формулах (11) — (13), позволяет получить хорошие результаты.

Алгоритмы сравнивались [4] на следующей тестовой задаче: брались входной δ -образный сигнал f , с помощью соответствующей аппаратной функции A строился сигнал Af , на который накладывался гауссовский шум v . По полученному таким образом выходному сигналу ξ строилась оценка \hat{f} . Рассматривались различные комбинации m , $n=45, 60, 90, 120$. Для построения оперативных характеристик ИВК в каждой комбинации m, n перебиралось 20 значений параметра $\omega = \omega_k = 10^{-k}$, $1 \leq k \leq 20$. При каждом ω_k вычислялись оценка \hat{f} , уровень шума h , невязка g и $\|f - \hat{f}\|_2$. Сравнивались 4 алгоритма: описанные выше и основанный на обращении матрицы методом квадратных корней алгоритм, применяемый ранее в расчетах. Вычисления были проведены на ЕС-1030. В таблице приведены некоторые временные характеристики алгоритмов.

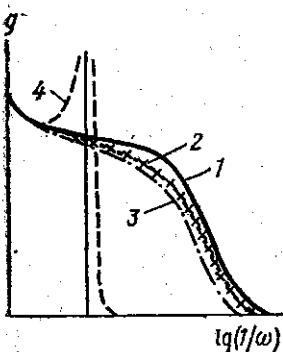


Рис. 1. Невязка g , рассчитанная различными алгоритмами: SVD (1), прогонкой (2), циклической редукцией (3), обращением матрицы (невязка разрывна) (4)

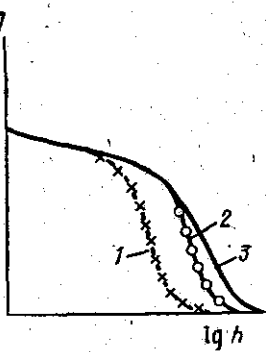


Рис. 2. Оперативная характеристика, рассчитанная с использованием SVD (1) и SVD с двойной точностью (2) и теоретическая (3)

Сравнивались 4 алгоритма: описанные выше и основанный на обращении матрицы методом квадратных корней алгоритм, применяемый ранее в расчетах. Вычисления были проведены на ЕС-1030. В таблице приведены некоторые временные характеристики алгоритмов.

На рис. 1, 2 приведены графики невязки g и оперативной характеристики для различных алгоритмов.

ИВК, основанный на SVD-разложении, дает $\|f - \hat{f}\|_2$ в 1,5—2 раза меньшую, чем ИВК с применением метода прогонки, и в 2—4 раза меньшую, чем ИВК, основанный на обращении и методе циклической редукции. Наиболее точные результаты дает ИВК-SVD. При больших (более 110×110) размерностях быстрее работает ИВК, основанный на разложении (10) с использованием метода прогонки.

Особое внимание хотелось бы уделить возможностям алгоритмов по построению оперативных характеристик. Приведенные на рис. 2 графики показывают, что оперативные характеристики, полученные при расчетах на ЭВМ, отличаются от теоретической при малых ω (или большом h). Это связано с неизбежными ошибками округления. Дове-

6

рять оперативной характеристике при больших h нельзя. Проведение расчета с двойной точностью существенно расширяет область доверия.

Конкретно ИБК (SVD) был применен для восстановления сечения f ФЯ реакции $^{12}\text{C}(\gamma, n)$ из реальных экспериментальных данных ξ , искаженных в процессе измерения гауссовской аппаратной функцией экспериментальной установки A (в данном случае искажение проявляется как заглаживание структурных особенностей сечения). На рис. 3 при-

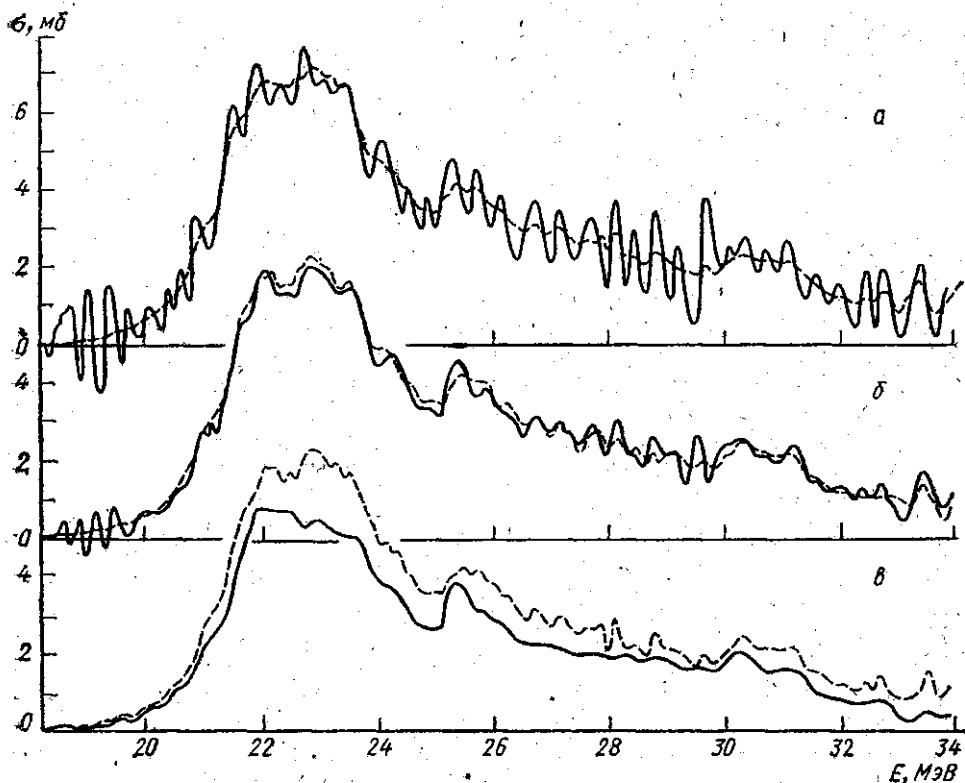


Рис. 3. Восстановление сечения $^{12}\text{C}(\gamma, n)$. Пунктир — исходные данные, сплошная кривая — результат редукции при различных ω : $\omega=0,125$ (а), 1 (б) и 8 (в)

ведены результаты редукции, содержащие 162 точки для трех различных параметров ω . Последнее существенно облегчает интерпретацию структуры сечения. Надо отметить, что ранее [2] нами был получен лишь начальный участок этого сечения, содержащий около 90 точек.

Авторы благодарят проф. Ю. П. Пытьева и проф. Б. С. Ишханова за плодотворные обсуждения.

СПИСОК ЛИТЕРАТУРЫ

- [1] Пытьев Ю. П. Матем. сб., 1983, 120, № 2, с. 240. [2] Варламов В. В. и др. Вестн. Моск. ун-та, 1984, 25, № 4, с. 53. [3] Пытьев Ю. П. Матем. сб., 1982, 118, № 1, с. 19. [4] Бобышев В. Н. В кн.: Численные алгоритмы линейной алгебры. М.: Изд-во МГУ, 1984, с. 3. [5] Самарский А. А. Введение в численные методы. М.: Наука, 1982. [6] Воеводин В. В. ЖМФ и МФ, 1969, 9, с. 671.

Поступила в редакцию
21.11.84